



Reprint 821

氣溫與熱力指數在酷熱天氣警告業務運作上的應用比較

梁延剛、陳玉卿 & 林鄭泗蓮

第二十三屆粵港澳氣象科技研討會

澳門，2009 年 2 月 18-20 日

氣溫與熱力指數在酷熱天氣警告業務運作上的應用比較

梁廷剛 陳玉卿 林鄭泗蓮
香港天文台

摘要

世界各地的氣象機構因應本地的天氣情況，利用不同的熱力指數來制定發出酷熱天氣警告的準則。在香港，天文台利用最高氣溫及淨有效溫度(NET)作為參考指標。

奧運馬術比賽在香港舉行期間，天文台成功應用一項熱力指數 - 濕球黑球溫度(WBGT)來監測馬匹所承受的暑熱壓力。為應付這次馬術比賽，天文台設立了專門量度和監測 WBGT 的儀器和預報工具，效果良好。

WBGT 除可應用於馬匹外，亦可應用於人類。本文利用過去因天氣炎熱而引致的中暑、送院求助數據從人體反應和業務運作的層面探討氣溫、NET 及 WBGT 在酷熱天氣警告業務的應用。

1. 引言

人類是溫血動物，對氣溫的轉變會作出生理的反應以保持體溫在 37°C 左右。冬天的嚴寒及盛夏的酷熱能為人類帶來不適，尤以生理調節能力較差的幼兒、長者或長期病患者為嚴重，增加中暑及誘發心、肺、呼吸道等有關疾病的機會(WHO/WMO/UNEP, 2003)。

除了氣溫外，其他氣象條件例如濕度、風速及太陽輻射等都會影響人體對熱力的感覺。舉例來說，在炎熱的天氣下，高濕度會減少人體因透過汗水蒸發而流失的熱量，低風速亦會減少人體熱量的流失，增加不適程度。基於以上原因，結合上述氣象條件的熱力指數應運而生。世界各地的氣象機構因應本地的天氣情況，利用不同的熱力指數來制定發出酷熱天氣警告的準則。世界氣象組織計劃在 2009 年發出指引，就指數的國際通用細則提出建議。

在香港，天文台從 2007 年開始正式利用最高氣溫及一種稱為淨有效溫度(Net effective Temperature，簡稱 NET)的熱力指數(Li and Chan, 2000；Leung *et al.*, 2008)作為參考指標。

奧運馬術比賽在香港舉行期間，天文台成功應用一種熱力指數 - 濕球黑球溫度(Wet Bulb Globe Temperature，簡稱 WBGT)來監測馬匹所承受的暑熱壓力。為應付這次馬術比賽，天文台設立了專門量度和監測 WBGT 的儀器和預報工具，效果良好。WBGT 除可應用於馬匹外，亦可應用於人類(Bureau of Meteorology, 2009)。本文從人體反應和業務運作的層面探討氣溫、NET 及 WBGT 在酷熱天氣警告業務的應用。

2. 數據與方法

本文所用的 NET 是以天文台總部錄得的氣溫、相對濕度及風速計算出來，公式如下 (Hentschel, 1986)：

$$NET = 37 - \frac{37 - T}{0.68 - 0.0014 RH + 1/(1.76 + 1.4v^{0.75})} - 0.29T(1 - 0.01RH)$$

其中 T 為氣溫、RH 為相對濕度、v 為風速。

自 2007 年，天文台在京士柏設立了量度和監測 WBGT 的儀器。儀器測量乾球溫度、自然濕球溫度 (naturally wet-bulb temperature) 和黑球溫度 (globe temperature)，綜合這 3 個參數可計算出相應的 WBGT，

計算公式如下 (ISO , 1989 ; Juang and Lin , 2007) :

$$WBGT = 0.7 T_{nwb} + 0.2 T_g + 0.1 T_a$$

當中：

T_{nwb} 為自然濕球溫度 – 未被遮蔽而外包濕紗布的濕度計，所得之溫度代表溫度、濕度、風速等之綜合效應；

T_g 為黑球溫度 – 中空黑色不反光金屬球，中央插入溫度計，所得之溫度代表輻射熱之效應；

T_a 則為乾球溫度 – 乾球溫度計不直接曝露在陽光下，所測量的氣溫代表純空氣溫度之效應。

本文利用了 2007-2008 年 5-9 月天文台總部錄得的日最高氣溫、日最高 NET 及京士柏的日最高 WBGT 以作比較。天文台總部及京士柏皆位於市區中心。

香港長者安居服務協會為長者提供「一線通」平安鐘服務。長者在有需要求救時，可按動平安鐘。若情況嚴重，長者會獲安排送院求診。本文利用這些每日送院求診數字，與上述的氣溫、NET 及 WBGT 分別進行迴歸分析，並以雙尾 t-測試檢驗相關係數的統計顯著水平 (Draper and Smith , 1981)。

此外，本文亦透過報章報導的中暑個案，分析當最高氣溫、NET 或 WBGT 到達某界值時，出現中暑的概率。文中提及的成功率 (Probability of Detection，簡稱 POD)，虛報率 (False Alarm Ratio，簡稱 FAR) 及臨界成功指數 (Critical Success Index，簡稱 CSI) 的計算方法見附件，詳請可參考 WMO (2009)。

3. 結果與討論

3.1. 人體反應

理論上，由於 WBGT 結合了較多能影響熱力感覺的氣象參數（氣溫、濕度、風速及太陽輻射），所以比 NET（氣溫、濕度及風速）或氣溫更能反映人類對熱力的反應。

圖 1 顯示日最高氣溫、最高 NET 及最高 WBGT 的統計量，氣溫與 WBGT 的分佈相若，NET 的數值較低。氣溫與 WBGT 的平均值都為 30.6，高於 NET 的 26.9。離散度方面，氣溫、NET 及 WBGT 的幅度相近，約為 13 至

14；三者的標準差 (standard deviation) 亦很接近，約為 2 至 3。NET 的上四分位與下四分位的距離較短，中間的 50% 數據較為集中。

圖 2 顯示最高氣溫與平均送院求診數字的關係。因為有設置平安鐘的人數隨時間而變化，所以先將送院數字常規化為每 5 萬人中需送院的數字。從圖 2 可以看到氣溫在 28 度以下時平均送院數字與氣溫沒有明顯關係；氣溫在 28 度或以上時，數字則呈上升趨勢。NET、WBGT 跟平均送院數字也有類似的情況，即在某界值或以上時，送院數字上升（圖 3）。送院數字分別與氣溫、NET 及 WBGT 的相關係數都頗高，在統計學上達 5% 顯著水平，顯示送院數字與這三個參數均有很密切的關係。送院數字與氣溫 ($r = 0.93$) 及 WBGT ($r = 0.87$) 的相關較 NET ($r = 0.76$) 為高。

至於中暑個案方面，最高氣溫、NET 及 WBGT 也能反映氣溫越高，中暑機會越大的情況（圖 4）。Li (2008) 利用 2007 年 5-8 月的數據比較了 NET 及 WBGT 在預報是否出現中暑個案的表現。以 $WBGT \geq 33.0$ 作預測，POD (70%) 與 CSI (36%) 分別高於 $NET \geq 29.0$ 的 POD (39%) 與 CSI (28%)；但 FAR (57%) 則高於 $NET \geq 29.0$ 的 FAR (50%)。本文利用 2007-2008 年 5-9 月的數據得出的結果相若，即 WBGT 的 POD 較 NET 為佳，但 FAR 則稍遜（表 1b 及 1c）。比較表 1a 及 1b，可見最高氣溫在預報是否出現中暑個案的表現較 NET 差。

3.2 . 業務運作

天文台現時利用最高氣溫及 NET 作為參考指標來發出酷熱天氣警告。預報員預測最高氣溫的準確率很高。圖 5 顯示 NET 很受風速的影響，程度可高於氣溫。風速稍為有些微改變，NET 的上落很大，運作效果有時不太理想。

WBGT 方面，一些氣象機構例如澳洲氣象局應用它來監察暑熱壓力 (Bureau of Meteorology, 2009)。他們利用以下公式來作估算：

$$WBGT = 0.567T + 0.393e + 3.94$$

其中 T 為氣溫，e 為水氣壓力（與濕度有關）。

本文利用多元迴歸法，建立了以下公式

$$WBGT = -12.065 + 1.193T + 0.0688 RH$$

來估算每小時的 WBGT (圖 6)。計算得出的 WBGT 與實際錄得的 WBGT 相關係數高達 0.92，在統計學上達 5% 顯著水平，均方根誤差 (root mean square error)只得 1.0。在奧運馬術期間，預報員也應用了類似的公式在沙田及雙魚河為馬術賽事作出預報，效果良好。

3.3 . 酷熱天氣警告

綜合以上討論，以 WBGT 作為酷熱天氣警告的參考指標，較 NET 穩定。氣溫是一般市民最為熟悉的指標，但在某些情形下，WBGT 比氣溫更能反映市民受熱的情況。例如 2007 年 7 月 16 日有中暑個案出現及有多達 91 人 (每 5 萬人)送院，這數字是送院數字中由高至低的第七位。當天的最高 WBGT 達 33.6，但最高氣溫只得 32.8。因此，可考慮同時以氣溫及 WBGT 作為指標。表 1d 及 1e 是其中兩種結合氣溫及 WBGT 的指標來預測中暑的列聯表 (contingency table)，從中暑數據上看，較單以氣溫或 WBGT (表 1a、1c) 更貼近市民對酷熱天氣的反應。

4. 結論

本文從科學和預報技巧的層面討論了氣溫、NET 及 WBGT 在酷熱天氣警告業務的應用。

氣溫、NET 及 WBGT 均與送院數字及中暑的出現有密切關係。氣溫及 WBGT 跟送院人數的相關較 NET 為高。另外，以 WBGT 來預測中暑的出現，成功率較 NET 高，但虛報率也較 NET 高。在業務運作方面，NET 很受風速影響，上落的幅度很大。WBGT 則相對較穩定。

綜合以上的比較，以 WBGT 作為酷熱天氣警告的參考指標，較 NET 穩定。氣溫是一般市民最為熟悉的指標，但 WBGT 在某些情況可互補氣溫的不足。因此，可考慮結合氣溫及 WBGT 作為酷熱天氣警告的指標。

參考文獻

- Bureau of Meteorology, Australia, 2009: *About the WBGT and Apparent Temperature Indices.* Available online: http://www.bom.gov.au/info/thermal_stress/
- Draper, N and H. Smith, 1981: *Applied Regression Analysis*, 2nd Edition, New York: John Wiley & Sons, Inc.
- Hentschel G., 1986: A human biometeorology classification of climate for large and local scales. In *Proceedings WHO/HMO/UNEP Symposium on Climate and Human Health*, Vol. I, WCPA – No. 1. WMO: Leningrad.
- ISO, 1989: ISO 7243. *Hot environments – Estimation of the heat stress on working man based in the WBGT-index (wet bulb globe temperature)*. Geneva, Switzerland, International Organisation for Standards.
- Juang, Y.J. and Y.C. Lin, 2007: The Effect of Thermal Factors on the Measurement of Wet Bulb Globe Temperature. *Journal of Occupational Safety and Health* 15:191-203.
- Leung, Y.K., K.M. Yip and K.H. Yeung, 2008: Relationship between thermal index and mortality in Hong Kong. *Meteorological Applications* 15:399-409.
- Li, K.W., 2008: Notes of the results of the study on the impact of high Wet Bulb Globe temperature (WBGT) and Air temperature in Hot Weather Condition. *HKO internal document*.
- Li, P.W. and S.T. Chan, 2000: Application of a weather stress index for alerting the public to stressful weather in Hong Kong. *Meteorological Applications* 7:369-375.
- WHO/WMO/UNEP, 2003: *Climate Change and Human Health – Risks and Responses* (edited by McMichael, A.J., D.H. Campbell-Lendrum, C.F. Corvalan, K.L. Ebi, A.K. Githeko, J.D. Scheraga and A. Woodward). World Meteorological Organization, Geneva.
- WMO, 2009: *Forecast Verification – Issues, Methods and FAQ*. 4th International Verification Methods Workshop. WWRP/WGNE Joint Working Group on Verification. Available online: http://www.bom.gov.au/bmrc/wefor/staff/eee/verif/verif_web_page.html

表 1. 香港天文台的最高氣溫、NET 及 WBGT 與中暑報告的列聯表
(2007-2008 年，5-9 月的數據)

(a) 最高氣溫 ≥ 33.5

預測指標	中暑報告		總數
	有	無	
是	10	11	21
否	38	241	279
總數	48	252	300

POD: 21%

FAR: 52%

CSI: 17%

(b) NET ≥ 29.0

預測指標	中暑報告		總數
	有	無	
是	16	18	34
否	32	234	266
總數	48	252	300

POD: 33%

FAR: 53%

CSI: 24%

(c) WBGT ≥ 33.0

預測指標	中暑報告		總數
	有	無	
是	18	30	48
否	30	222	252
總數	48	252	300

POD: 38%

FAR: 63%

CSI: 23%

(d) 最高氣溫 ≥ 33.5 或 WBGT ≥ 33.0

預測指標	中暑報告		總數
	有	無	
是	23	34	57
否	25	218	243
總數	48	252	300

POD: 48%

FAR: 60%

CSI: 28%

(e) 最高氣溫介乎 32.5 至 33.4 及 WBGT ≥ 33.0 ，或 最高氣溫 ≥ 33.5

預測指標	中暑報告		總數
	有	無	
是	18	21	39
否	30	231	261
總數	48	252	300

POD: 38%

FAR: 54%

CSI: 26%

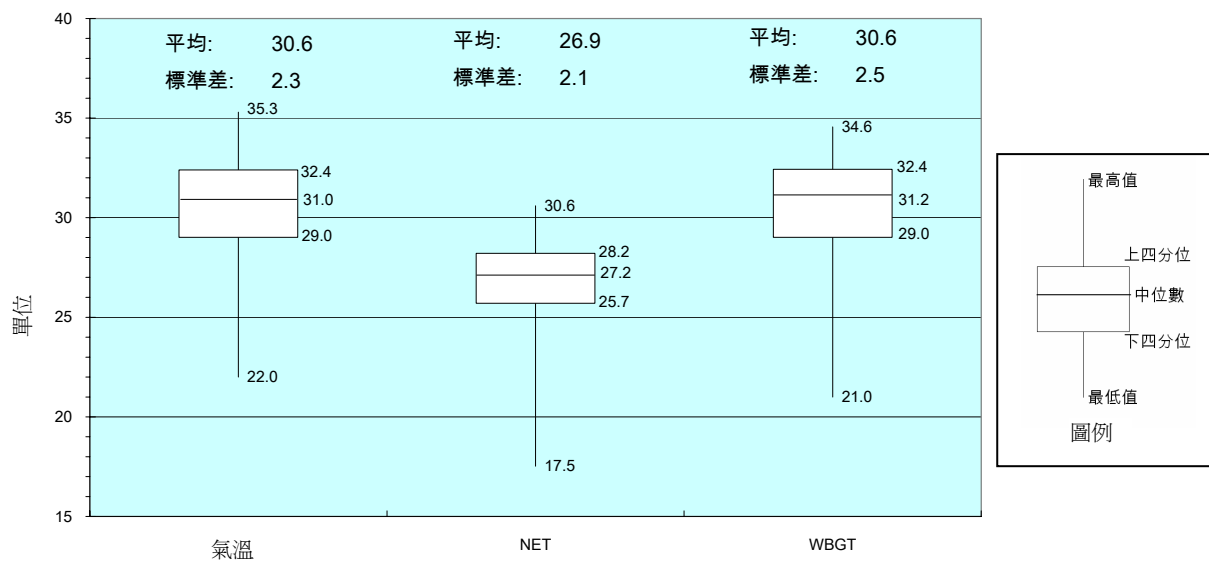


圖 1. 日最高氣溫、NET 及 WBGT 的統計盒型圖 (Box and Whisker Plot) (2007-2008 年，5-9 月的數據)

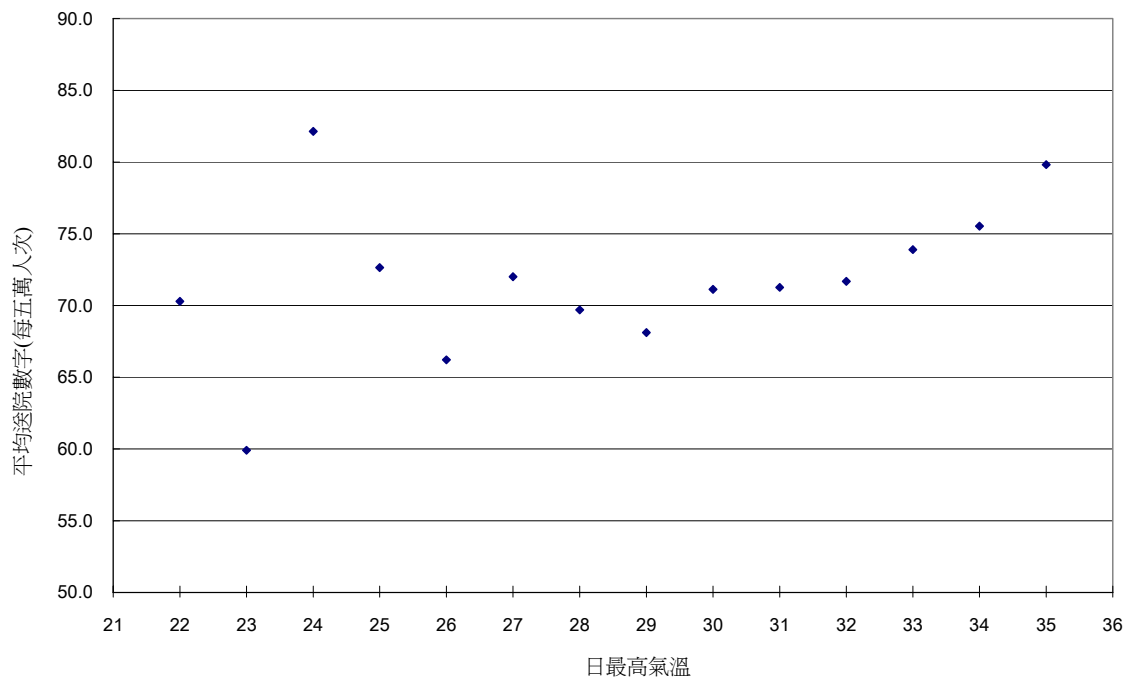


圖 2. 送院數字與日最高氣溫的散點圖 (Scatter Diagram) (2007-2008 年，5-9 月的數據)

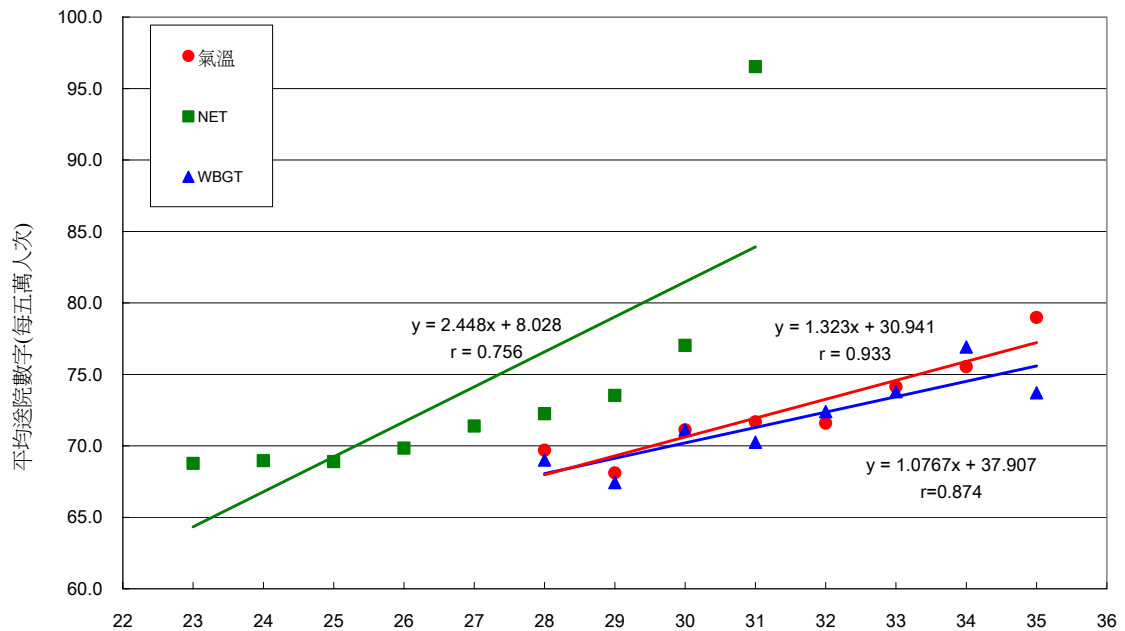


圖 3. 送院數字與日最高氣溫、NET 及 WBGT 的上升趨勢圖，相關係數分別為 0.93、0.76 及 0.87 (2007-2008 年，5-9 月的數據)

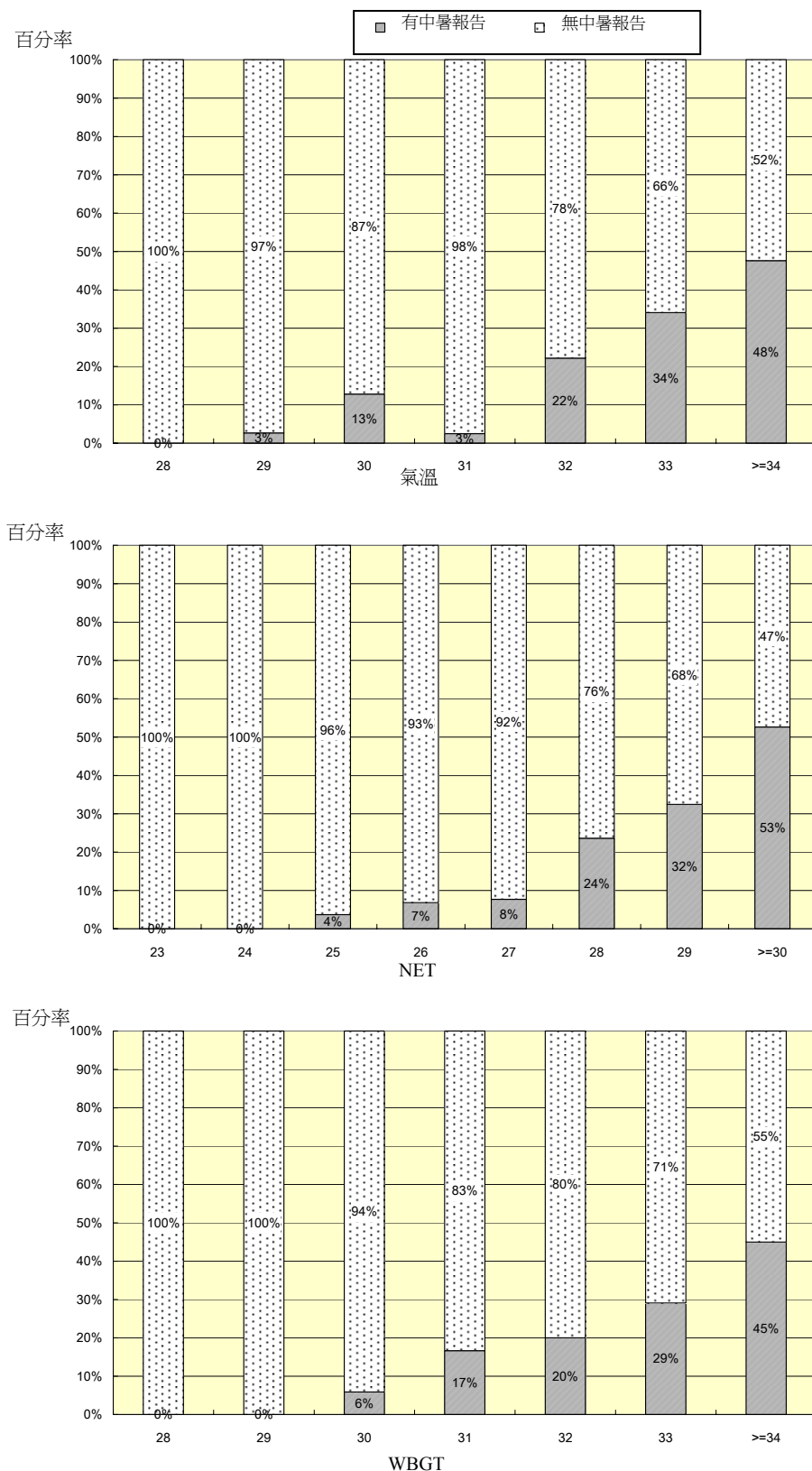


圖 4. 在不同溫度、NET 及 WBGT 下，有中暑報告的百分率。圖中的溫度、NET 及 WBGT 以四捨五入計算，即 31 代表數值介乎 30.5 至 31.4 之間（2007-2008 年，5-9 月的數據）

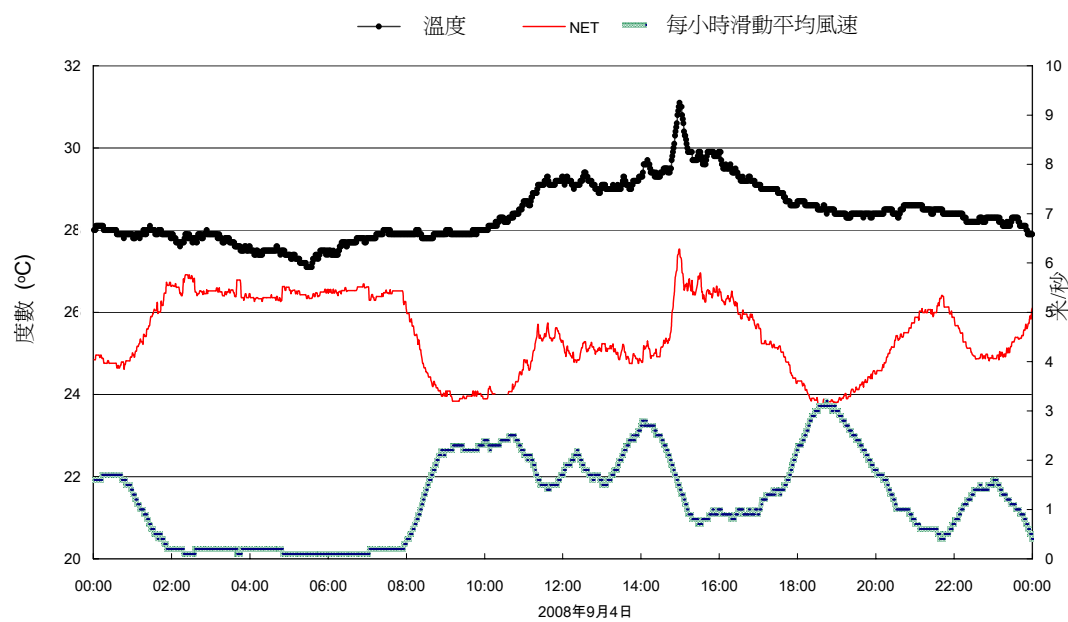


圖 5. 2008 年 9 月 4 日的溫度、NET 及風速時間序列

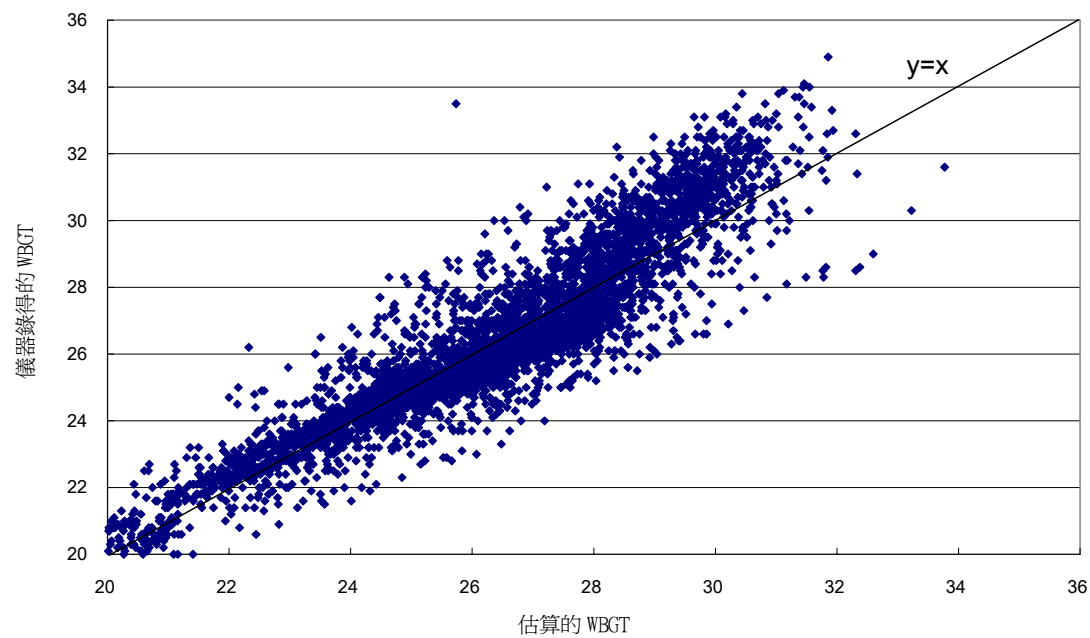


圖 6. 京士柏儀器錄得的 WBGT 與估算的 WBGT 的比較 (2007-2008 年，5-9 月的數據)

附件

列聯表 (Contingency Table)

預測	觀測		總數
	是	否	
是	a	b	a+b
否	c	d	c+d
總數	a+c	b+d	a+b+c+d=n

(a) 成功率 (Probability of detection, POD)

$$\text{POD} = \frac{a}{a+c}$$

- POD 數值介乎 0-1 之間，數值愈大愈接近正確預報。
- 表示在觀測事件中，正確預報的百分比。

(b) 虛報率 (False Alarm Ratio, FAR)

$$\text{FAR} = \frac{b}{a+b}$$

- FAR 數值介乎 0-1 之間，數值愈小愈接近正確預報。
- 表示在預測事件中，虛報的百分比。

(c) 臨界成功指數(Critical Success Index, CSI)

$$\text{CSI} = \frac{a}{a+b+c}$$

- CSI 數值介乎 0-1 之間，數值愈大愈接近正確預報。
- 表示在事件中(觀測和/或預測)，正確預報的百分比。